



مجله علمی پژوهشی مکانیک سازه‌ها و شاره‌ها

DOI: 10.22044/jsm.2017.860

بررسی عددی تأثیر نانوسيال بر راندمان چاه حرارتی ميكرو کانالي با استفاده از روش تاگوچی

مهران خاکی جامعی^{۱*} و مرتضی عباسی^۱^۱ استادیار، مهندسی مکانیک - تبدیل انرژی، دانشگاه آزاد اسلامی واحد ساری، ساری

مقاله مستقل؛ تاریخ دریافت: ۱۳۹۵/۰۵/۰۵؛ تاریخ بازنگری: ۱۳۹۵/۰۷/۰۴؛ تاریخ پذیرش: ۱۳۹۵/۰۹/۲۱

چکیده

در این مقاله، عملکرد یک چاه حرارتی میکرو کانالی با دو جنس مختلف آلومینیم و مس و با نانوسيالات مختلف و سیال پایه آب و اتیلن-گلیکول، مورد مطالعه قرار گرفته است. چاه حرارتی میکرو کانالی شامل، تعدادی میکرو کانال موازی است که برای کنترل دما روی یک منبع گرم مانند سیبی یو کامپیوترا قرار می‌گیرد. جریان درون کانال‌ها آرام، دائمی و سیال تراکم ناپذیر است. نانوسيالات مورد استفاده همگن در نظر گرفته شده‌اند. معادلات حاکم به صورت سه‌بعدی و به روش عددی حجم محدود حل شدند. برای بررسی تأثیر هم‌زمان تمامی پارامترهای اثرگذار، از روش آماری تاگوچی استفاده شده است. بررسی‌ها نشان می‌دهد که در شرایط یکسان ترکیبات مختلف نانوذرارات با سیال پایه اتیلن گلیکول در مقایسه با نانوسيالات آب بیش از دو برابر افت فشار ایجاد کرده و همچنین، دمای منبع گرم در این حالت، تقریباً ده درجه سانتی گراد بالاتر است؛ بنابراین استفاده از نانوسيالات با سیال پایه اتیلن گلیکول توجیه‌پذیر نیست. از دیگر یافته‌های تحقیق، این است که نانوسيال آب-اکسید تیتانیوم ۰/۵ درصد و کانال مسی از میان وضعیت‌های در نظر گرفته شده، بهترین راندمان را برای چاه حرارتی داشته، اما نانوسيال آب-اکسید آلومینیم ۸ درصد و کانال مسی، بهترین کاهش دما را برای منبع گرم دارد.

كلمات کلیدی: چاه حرارتی میکرو کانالی؛ نانوسيال؛ تاگوچی؛ راندمان حرارتی.

Numerical Investigation of Nano-Fluid Flow on Micro Channel Heat Sink Efficiency using the Taguchi Method

M. Khaki Jamei^{1,*}, M. Abbasí¹¹ Department of Mechanical Engineering, Islamic Azad University, Sari, Iran.

Abstract

In this article we have studied a micro-channel heat sink with different kinds of nanofluid flow using water and ethylene-glycol as base fluids. The heat sink discussed contains a number of parallel micro channels which are placed on a thermal source (exp. computer CPU) for controlling its temperature. The flows in micro-channels are considered, incompressible, steady state and homogenous. A Finite volume three dimensional numerical scheme is used to solve the governing differential equations. The channel is made aluminum or copper and aluminum oxide, copper, titanium oxide, mercury and gold used as nanoparticles inside the base fluid, water and ethylene-glycol. Taguchi statistical method is used for to investigate all the cases. Studies show that different combinations of nanoparticles create a 10 times higher pressure lost with ethylene-glycol as the base fluid rather than water. The heat source's temperature correspondingly leads for over 10°C the ethylene-glycol version. Therefore it doesn't seem sufficient to use ethylene glycol as the base fluid for nano particles. Other findings suggest that the titanium dioxide-water Nano-fluid of 5 vol. % on the copper channels has the best thermal efficiency, but the aluminum-oxide-water Nano-fluid of vol. % on the copper channels has the best minimum temperature of the heat source.

Keywords: Micro-Channel Heat Sink; Nano-Fluid; Taguchi Method; Heat Efficiency.

* نویسنده مسئول؛ تلفن: +۰۱۱۳۳۱۷۵۳۴۰

آدرس پست الکترونیک: khaki@iausari.ac.ir

۱- مقدمه

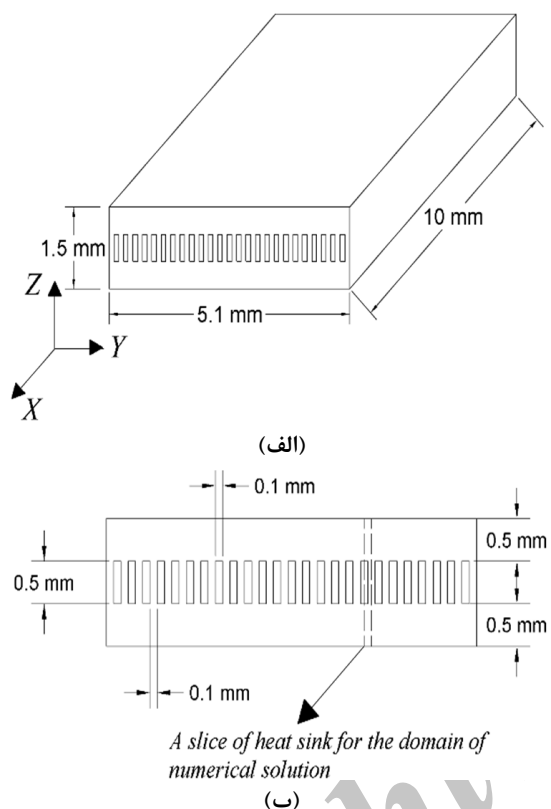
میکروکانالی، تأثیر غلظت نانوذرات را به صورت آزمایشگاهی بررسی کردند. طی گزارش آن‌ها افزودن یک درصد نانوذرات آلومینیا می‌تواند سبب افزایش ۴۷.۷ درصد ضریب انتقال حرارت کلی شود. ژان و لی [۶] با ارائه یک مدل تئوری، جریان حرارتی نانوسيال را در یک لوله مورد بررسی قرار دادند. آن‌ها همچنین توزیع نانوذرات جامد را در جریان آرام نانوسيال آب-اکسید آلومینیوم تحت انتقال حرارت اجباری در یک لوله دایروی با دیواره‌های دما ثابت، مورد بررسی قرار دادند. در این تحقیق دیده شد، افزایش کسر حجمی نانوسيال، انتقال حرارت را افزایش می‌دهد. لی و موداور [۷]، نانوسيال اکسید آلومینیوم-آب در کسر حجمی‌های متفاوت را با دو مدل، تکفاز و دوفاز تحت توان پمپاژ متفاوت مورد بررسی قرار دادند. آن‌ها دیدند که افزایش نانوذرات در سیال پایه، سبب افزایش ضریب انتقال حرارت در جریان آرام توسعه یافته شده، درصورتی که این افزایش در جریان آشفته به مراتب کمتر است. چین و هیوانگ [۸]، با به کارگیری آب و نانوسيال مس-آب در کسر حجمی‌های متفاوت با فرض تکفاز بودن نانوسيال در دو هندسه مختلف از میکروکانال سیلیکونی دریافتند که عملکرد چاه حرارتی توسط نانوسيال به طور قابل توجهی بهبود می‌باید و وجود نانوذرات به دلیل کوچک بودن ذرات و پایین بودن کسر حجمی، افت فشار را به مقدار زیادی افزایش نمی‌دهد. ون و دینگ [۹]، جریان آرام را در یک لوله مسی حامل نانوسيال آب-اکسید آلومینیوم، مورد بررسی قرار دادند. آن‌ها افزایش قابل ملاحظه انتقال حرارت توسط نانوسيال را گزارش دادند. آن‌ها علاوه بر افزایش ضریب هدایت حرارتی نانوسيال، تحرک نانوذرات داخل سیال پایه و اختلال ناشی از آن در لایه‌مرزی را از دلایل اصلی این افزایش دانستند. لی و کلنستر [۱۰]، نانوسيال آب-اکسید مس را با دو کسر حجمی متفاوت در یک میکروکانال ذوزنقه‌ای، مورد بررسی قرار دادند. آن‌ها گزارش دادند، با افزایش ناچیز در توان پمپ به میزان قابل توجهی انتقال حرارت در میکروکانال افزایش می‌باید. تسا و چین [۱۱]، عملکرد یک چاه حرارتی با استفاده از نانوسيال آب-مس و آب-نانولوله کربنی در یک محیط مخلخل را مورد مطالعه قرار داده، نشان دادند که اختلاف دمای بین دیواره میکروکانال و دمای کپهای سیال، با استفاده از نانوسيال کاهش می‌باید. چن و دینگ [۱۲]، عملکرد انتقال حرارت در یک میکروکانال با نانوسيال آب-

کاربرد مبدل‌های حرارتی در صنعت بسیار گسترده بوده، به همین علت مورد توجه محققان زیادی قرار گرفته است. به عنوان مثال جمارانی و همکارانش [۱۳]، یک مبدل حرارتی دولوله در محیط مخلخل را در یک جریان آشفته به صورت عددی مورد مطالعه قرار دادند. در مطالعه‌ای دیگر شکیبا و گرجی [۲]، انتقال حرارت فروسيال را در مبدل حرارتی دولوله بررسی کردند. همگام با پیشرفت صنعت الکترونیک نیاز به خنک‌کاری سامانه‌های الکترونیکی مانند مدارهای مجتمع به عنوان یک ضرورت مطرح شد. در این راستا، طرح مبدل‌های کوچک به عنوان چاه حرارتی شکل گرفت.

چاه حرارتی میکروکانالی، اولین بار توسط تاکرمن و پیس [۳] پیشنهاد گردید. از مزایای استفاده از چاه حرارتی میکروکانالی، می‌توان به افزایش انتقال حرارت در اندازه هندسه کوچک‌تر و هزینه عملیاتی کمتر نسبت به چاه‌های حرارتی معمولی نام برد. چاه حرارتی میکروکانالی را می‌توان برای خنک‌کاری در مکانیسم‌هایی از قبیل، مدارهای مجتمع در مقیاس بزرگ و میکرو الکتریک و غیره پکار برد. چاه حرارتی مذکور شامل، تعدادی میکروکانال موازی است که درون آن سیال خنک‌کننده جریان دارد. حرارت دستگاه توسط دیواره‌های کانال جذب و توسط سیال خنک‌کننده دفع می‌شود. هوا، آب اتیلن گلیکول و روغن‌موتور، معمولاً در این نوع، چاه حرارتی به عنوان خنک‌کننده بکار می‌رودند. جهت بهبود عملکرد چاه حرارتی می‌توان از سیالی با مشخصات فیزیکی مناسب‌تری استفاده نمود و یا مشخصات فیزیکی سیال را اصلاح کرد. برای این منظور مقداری نانوذرات جامد که هدایت حرارتی بالایی دارند، به سیال پایه به عنوان یک سیال خنک‌کننده اضافه می‌شود. در قرن حاضر، مطالعات قابل توجهی انجام پذیرفته که در آن از نانوسيال به عنوان سیال خنک‌کننده در میکروکانال استفاده شده است. به عنوان مثال هو و همکاران [۴]، عملکرد حرارتی یک میکروکانال مسی با جابجایی اجباری را مورد مطالعه قرار دادند. آن‌ها از نانوسيال آب-اکسید آلومینیوم، به عنوان خنک‌کننده استفاده کردند. به گزارش آن‌ها، نانوسيال در چاه حرارتی میکروکانالی به طور چشم‌گیری ضریب انتقال حرارت کلی را افزایش می‌دهد. سلیمی و همکاران [۵] نیز، با استفاده از نانوسيال اکسید آلومینیم و آب در یک مبدل حرارتی

۲- بیان مسئله

شکل ۱، یک چاه حرارتی میکروکانالی را نشان می‌دهد که از تعدادی کanal موازی تشکیل شده است.



شکل ۱- شماتیکی از مسئله، (الف) نمای سه بعدی چاه حرارتی و (ب) نمای روپرتو به همراه برش استفاده شده در محاسبات [۲۲]

دیواره پایینی چاه حرارتی تحت شار حرارتی ثابت قرار دارد و دیواره بالایی عایق است. هر کanal دارای ارتفاع و عرض مشخصی بوده، ضخامت دیواره‌های چپ و راست با یکدیگر و همچنین ضخامت دیواره پایینی و بالایی آن با یکدیگر برابر هستند و طول تمامی میکروکانال‌های موازی که نانوسیال در آن جریان دارد، مساوی در نظر گرفته می‌شود. دمای سیال ورودی ثابت و برابر ۲۹۳ کلوین در نظر گرفته شده است. حرارت به صورت هدایتی از دیواره گذر کرده، با جابجایی به سیال منتقل می‌شود. محاسبات برای یک میکروکانال انجام و نتایج آن به کل چاه حرارتی گسترش می‌یابد.

اکسید آلومینیوم را مورد بررسی قرار داده، طی آن مشاهده کردند، تغییرات توزیع دما و مقاومت حرارتی نسبت به اینرسی حرارتی، به میزان چشمگیری بیشتر است. محمد و همکاران [۱۳]، انتقال حرارت در یک کanal ذوزنقه‌ای را مورد بررسی قرار دادند، آن‌ها گزارش دادند، عملکرد انتقال حرارت توسط نانوسیال آب-استیل به مقدار قابل توجهی افزایش می‌یابد. با مطالعه بررسی‌های انجامشده دیده می‌شود، تحقیقی وجود ندارد که تأثیر چندین پارامتر مختلف را شامل شود؛ از این‌رو برای بررسی جنبه‌های مختلف بران شدیم اثر پارامترهایی مانند جنس کanal، نوع سیال، عامل، نوع و همچنین درصد حجمی نانوذرات را توانمند مورد مطالعه قرار دهیم. با توجه به وسعت پارامترهای اثرگذار، نیاز به یک روش بهینه‌سازی مشهود است. برای بهینه‌سازی از روش‌های بسیاری می‌توان استفاده کرد که یکی از این روش‌ها، تاگوچی^۱ نام دارد. این روش در مسائل مهندسی ابتداء توسط سالمون^۲ و تاگوچی مورد استفاده قرار گرفت [۱۴]. در ایران نیز پژوهش‌گرانی روی تعدادی از مسائل تئوری و آزمایشگاهی از روش تاگوچی استفاده کرده‌اند [۲۰، ۲۱].

پژوهش‌های انجامشده در این خصوص، عموماً فقط یکی از پارامترهای تأثیرگذار را مورد توجه قرار دادند؛ حال آنکه در این پژوهش به تأثیر پارامترهای گوناگون شامل، نوع و درصد حجمی نانوذرات، جنس سیال پایه و همچنین جنس کanal بر راندمان حرارتی چاه حرارتی پرداخته شده است. با توجه به تعداد زیاد و همچنین ماهیت متغیرهای اثرگذار در مبدل میکروکانالی، برای بهینه‌سازی از روش تاگوچی استفاده شده است. با توجه به روش بهینه‌سازی مورد استفاده، از نتایج این تحقیق می‌توان برای انتخاب چاه حرارتی مناسب در سامانه‌های خنک‌کاری پردازنده‌های رایانه با بالاترین راندمان استفاده کرد.

^۱ Taguchi

^۲ Salmon

که در این روابط انديس های nf و s به ترتیب، مربوط به نانوسيال و جسم جامد می باشند. شرایط حاكم بر مرزهای جريان روی مرزهای جامد، ورودی، خروجی و محور تقارن باید تعريف شود. در مورد مرز جامد شرط عدم لغش اعمال می شود، به گونه ای که سرعت روی اين مرز باید صفر باشد؛ همچنین انتقال حرارت سیال و جامد در اين مرزها با هم برابر است، يعني:

at walls:

$$u = v = w = 0 \text{ and } -k_{nf} \frac{\partial T_{nf}}{\partial n} = -k_s \frac{\partial T_s}{\partial n} \quad (7)$$

دیواره بالای مبدل حرارتی، عایق است. در ورودی جريان سیال، سرعت در راستای X یکنواخت و برابر با 1 متر بر ثانیه و دمای ورودی برابر 293°C کلوین در نظر گرفته شد.

$$u = u_{in}, v = 0, w = 0, T = T_{in} \quad (8)$$

برای مرز خروجی شرط کاملاً توسعه یافته برای جريان هیدرولیک و حرارتی اعمال شده، به عبارتی گرادیان سرعت و دمای بی بعد صفر است ($\partial \theta / \partial x = 0$). برای محور تقارن شرط صفر بودن گرادیان همه کمیت ها عمود بر سطح، پاسخ $(\partial \theta / \partial n = 0)$ اعمال می شود. در این حالت مقدار کمیت های روی محور تقارن برابر مقدار نقطه بالای است.

۳- خواص ترموفیزیکی نانوسيال

در اين مقاله، سیال آب و اتیلن گلیکول به همراه نانوذرات Au و Ag ، Cu ، TiO_3 ، Al_2O_3 ، ترموفیزیکی و پایداری نانوسيال ثابت فرض شده است. خواص نانوسيال از رابطه چوی [۲۳]، ویسکوزیته آن از رابطه درو و پاسمن [۲۴]، ظرفیت گرمایی ویژه از رابطه زوان و روتزل [۲۵] و همچنین ضریب هدایت حرارتی نانوسيال از رابطه یو و چوی [۲۶] طبق فرمول های (۹-۱۲) به دست می آیند:

$$\rho_{nf} = (1 - \varphi)\rho_{bf} + \varphi\rho_p \quad (9)$$

$$\mu_{nf} = \mu_{bf}(1 + 2.5\varphi) \quad (10)$$

$$(\rho c_p)_{nf} = (1 - \varphi)(\rho c_p)_{bf} + \varphi(\rho c_p)_b \quad (11)$$

$$\frac{k_{nf}}{k_{bf}} = \frac{k_p + 2k_{bf} + 2(k_p - k_{bf})(1 + \beta)^3\varphi}{k_p + 2k_{bf} - (k_p - k_{bf})(1 + \beta)^3\varphi} \quad (12)$$

فرضیات حاكم بر مسئله چنان انتخاب شدند که با فیزیک مسئله مطابقت داشته باشند. اين فرضیات را می توان به صورت زیر بيان کرد:

- جريان آرام دائمی و در يك فاز است
- سیال نیوتونی و غیرقابل تراکم است
- نانوذرات دارای اندازه و شکل يکسان هستند
- سیال پایه و ذرات از لحظه دمایی در تعادل هستند
- از انتقال حرارت تابشی بين وجهه صرف نظر شده است.

۳- مدل سازی ریاضی

مدل سازی ریاضی شامل، معرفی معادلات حاكم، شرایط مرزی و معادلات تجربی برای محاسبه خواص ترموفیزیکی نانوسيال است.

۳-۱- معادلات حاكم و شرایط مرزی

معادلات حاكم شامل دو بخش، معادله انتقال حرارت هدایتی در دیواره جامد که به صورت سه بعدی بوده، معادلات پیوستگی، مومنتوم و انرژی داخل سیال هستند. معادله هدایت در دیواره جامد در معادله ۱ معرفی شده است.

$$k_s \left(\frac{\partial^2 T_s}{\partial x^2} + \frac{\partial^2 T_s}{\partial y^2} + \frac{\partial^2 T_s}{\partial z^2} \right) = 0, \quad (1)$$

معادلات سیالی شامل، معادله پیوستگی، مومنتوم و انرژی هستند که به ترتیب در روابط ۲ تا ۶ آمده است.

$$\frac{\partial u}{\partial x} + \frac{\partial v}{\partial y} + \frac{\partial w}{\partial z} = 0 \quad (2)$$

$$\rho_{nf} \left(u \frac{\partial u}{\partial x} + v \frac{\partial u}{\partial y} + w \frac{\partial u}{\partial z} \right) = - \frac{\partial P}{\partial x} + \mu_{nf} \left(\frac{\partial^2 u}{\partial x^2} + \frac{\partial^2 u}{\partial y^2} + \frac{\partial^2 u}{\partial z^2} \right) \quad (3)$$

$$\rho_{nf} \left(u \frac{\partial v}{\partial x} + v \frac{\partial v}{\partial y} + w \frac{\partial v}{\partial z} \right) = - \frac{\partial P}{\partial y} + \mu_{nf} \left(\frac{\partial^2 v}{\partial x^2} + \frac{\partial^2 v}{\partial y^2} + \frac{\partial^2 v}{\partial z^2} \right) \quad (4)$$

$$\rho_{nf} \left(u \frac{\partial w}{\partial x} + v \frac{\partial w}{\partial y} + w \frac{\partial w}{\partial z} \right) = - \frac{\partial P}{\partial z} + \mu_{nf} \left(\frac{\partial^2 w}{\partial x^2} + \frac{\partial^2 w}{\partial y^2} + \frac{\partial^2 w}{\partial z^2} \right) \quad (5)$$

$$\rho_{nf} c_{pnf} \left(u \frac{\partial T}{\partial x} + v \frac{\partial T}{\partial y} + w \frac{\partial T}{\partial z} \right) = k_{nf} \left(\frac{\partial^2 T}{\partial x^2} + \frac{\partial^2 T}{\partial y^2} + \frac{\partial^2 T}{\partial z^2} \right) \quad (6)$$

سطح تغییراتشان در این راستا لحاظ شود [۲۷]. برای بررسی داده‌ها در این روش، از نسبت سیگنال به نویز (S/N) استفاده می‌شود. در این نوع بررسی سه حالت ممکن است مورد نظر باشد، مقدار کمتر بهتر است (LB)^۱، مقدار بیشتر بهتر است (HB)^۲ و یا مقادیر نامی بهتر است (NB)^۳ که هر کدام از سه مورد بر اساس تأثیر متغیرهای مورد مطالعه می‌تواند مورد استفاده قرار گیرد. به عنوان مثال در مدل‌های حرارتی هدف افزایش انتقال حرارت به همراه کاهش افت فشار است. پس برای متغیر اول (HB) و برای متغیر دوم (LB) انتخاب می‌شود.

۲-۴-۳- طراحی ماتریس تاگوچی

هدف اصلی در استفاده از روش تاگوچی، به دست آوردن بهترین اطلاعات از میان داده‌های موجود، برای رسیدن به شرایط بهینه است. دو ابزار مهم در این راستا، ایجاد ماتریس متعامد تاگوچی برای دستیابی به تعداد آزمایش‌های موردنیاز با در نظر گرفتن کلیه متغیرها و سطح تغییرشان و همچنین محاسبه نسبت سیگنال به نویز برای ارزیابی تأثیر پارامترها و انتخاب نقطه بهینه می‌باشد [۲۸-۳۰]. پارامتر سیگنال در حقیقت همان پارامتر قابل کنترل و نویز پارامتر غیرقابل کنترل هستند. جدول ۱، متغیرهای اثرگذار و سطح تغییرات آن را نشان می‌دهد.

در این تحقیق، دو پارامتر برای بهینه‌سازی، ضریب انتقال حرارت به صورت HB و افت فشار به صورت LB در نظر گرفته شده است. برای بررسی دقیق‌تر تأثیر سیال عامل پایه، آب و اتیلن‌گلیکول را به صورت مستقل مورد بررسی قرار داده، درنهایت این دو با هم مقایسه می‌شود. با توجه به تعداد پارامترهای اثرگذار و سطح تغییرات آن تعداد اجراهای برنامه با سیال عامل آب در جدول ۲ و سیال عامل اتیلن‌گلیکول در جدول ۳ تعیین می‌شود.

در جداول ۲، ضریب بهره براساس رابطه ۱۷ بدست آمده که در آن سیال پایه آب بوده، اما برای محاسبه ضریب بهره در جدول ۳ از مشخصات سیال اتیلن‌گلیکول به عنوان سیال پایه استفاده شده است.

۳-۳- ضریب بهره چاه حرارتی

چاه حرارتی مورد مطالعه برای کاهش دمای مدارهای مجتمع رایانه مورد بهره‌برداری قرار می‌گیرد. از این‌رو یکی از معیارهای بهینه‌سازی، حداقل دمای سطح تماس چاه حرارتی با سطح سی پی بوده، از طرفی میزان توان لازم برای به چرخش درآوردن سیال در مبدل نیز باید به حداقل برسد. برای رسیدن به هر دو هدف به صورت همزمان از تعاریف (۱۳-۱۷) استفاده شده است.

$$\theta_{bf} = T_{c,bf} - T_{in,bf} \quad (13)$$

$$\theta_{nf} = T_{c,nf} - T_{in,nf} \quad (14)$$

$$\theta_r = \frac{\theta_{bf} - \theta_{nf}}{\theta_{bf}} \quad (15)$$

$$W_r = \frac{W_{nf} - W_{bf}}{W_{bf}} \quad (16)$$

$$\eta = \frac{\theta_r}{W_r} \quad (17)$$

که در روابط ۱۳ تا ۱۷ دمای سطح تماس سی پی بود، دمای ورودی سیال، اندیس bf سیال پایه، اندیس nf نانوسیال، W توان موردنیاز پمپ برقراری جریان سیال و η ضریب بهره هستند.

۳-۴- روش بهینه‌سازی

برای بررسی دقیق‌تر انتقال حرارت در چاه حرارتی موردمطالعه، حالت‌های مختلفی از جنس کانال، جنس سیال پایه، جنس نانوذرات و درصد حجمی نانوذرات در نظر گرفته شده است که انتخاب حالت بهینه از میان تمام حالت‌های ممکن را مشکل می‌سازد. به این منظور باید یکی از روش‌های بهینه‌سازی را به کار گرفت. در این پژوهش، روش تاگوچی انتخاب شده است.

۴-۱- روش تاگوچی

روش تاگوچی، یک روش بهینه‌سازی است که در آن از آرایه‌های استاندارد متعامد برای تنظیم ماتریس تعداد آزمایش‌ها، بر اساس تعداد متغیرهای اثرگذار و سطح تغییر آن‌ها استفاده می‌شود. با استفاده از این ماتریس، می‌توان بیشترین اطلاعات را با حداقل تعداد آزمایش‌ها و یا محاسبات به دست آورد؛ به‌گونه‌ای که تأثیر تمامی متغیرها به همراه

¹ Lower the Better

² Higher the Better

³ Nominal the Better

جدول ۱- متغیرهای اثرگذار و سطح تغییرات آنها

نوع متغیر	علامت اختصاری	سطح ۱	سطح ۲	سطح ۳	سطح ۴
جنس نانوذره	A	نقره	آلومینیوم	مس	اکسید تیتانیوم
درصد حجمی نانوذره	B	۰/۵	۲	۵	۸
جنس کانال	C	آلومینیوم	مس	----	----
سیال پایه	D	آب	اتیلن گلیکول	----	----

جدول ۲- طراحی تعداد آزمایش‌ها براساس ماتریس پیشنهادی

L₁₆ و نتایج ضرب بهره برای نانوسيال اتیلن گلیکول

ضریب بهره	متغیرهای اثرگذار			شماره آزمایش
	A	B	C	
۰/۶۵۳۸	۱	۱	۱	۱
۴/۱۶۱۴	۱	۲	۱	۲
۱/۲۴۶۶	۱	۳	۲	۳
۰/۹۶۲۹	۱	۴	۲	۴
۰/۶۷۹۲	۲	۱	۱	۵
۰/۶۶۱۶	۲	۲	۱	۶
۱/۲۷۴۰	۲	۳	۲	۷
۰/۹۹۰۹	۲	۴	۲	۸
۷/۳۳۷۵	۳	۱	۲	۹
۲/۳۳۶۳	۳	۲	۲	۱۰
۰/۶۵۶۵	۳	۳	۱	۱۱
۰/۶۲۲۰	۳	۴	۱	۱۲
۳/۰۴۲۶	۴	۱	۲	۱۳
۱/۲۲۳۴	۴	۲	۲	۱۴
۰/۵۸۷۷	۴	۳	۱	۱۵
۰/۵۵۶۱	۴	۴	۱	۱۶

جدول ۲- طراحی تعداد آزمایش‌ها براساس ماتریس پیشنهادی

L₁₆ و نتایج ضرب بهره برای نانوسيال آب

ضریب بهره	متغیرهای اثرگذار			شماره آزمایش
	A	B	C	
۱/۰۱۳۷	۱	۱	۱	۱
۰/۵۵۰۶	۱	۲	۱	۲
۱/۲۵۹۴	۱	۳	۲	۳
۰/۸۹۸۰	۱	۴	۲	۴
۰/۹۷۸۳	۲	۱	۱	۵
۰/۵۶۶۶	۲	۲	۱	۶
۱/۳۶۶۵	۲	۳	۲	۷
۰/۹۷۱۰	۲	۴	۲	۸
۹/۶۷۶۵	۳	۱	۲	۹
۲/۷۴۱۱	۳	۲	۲	۱۰
۰/۴۵۹۴	۳	۳	۱	۱۱
۰/۴۱۴۳	۳	۴	۱	۱۲
۱۰/۱۱۵۹	۴	۱	۲	۱۳
۲/۷۹۱۶	۴	۲	۲	۱۴
۰/۴۰۰۷	۴	۳	۱	۱۵
۰/۳۵۴۹	۴	۴	۱	۱۶

عددی و سه بعدی مورد مطالعه قرار گرفت. با توجه به اینکه چاه حرارتی از کانال‌های موازی هم تشکیل شده است، فقط نیمی از یک کانال با ابعاد ارائه شده در شکل ۱ بررسی شده است. به علت اینکه شکل کانال مستطیلی است، از شبکه منظم چهار وجهی استفاده شده است که در کناره دیواره‌ها و همچنین ورودی جریان مترافق‌تر هستند. شکل ۲، یک نمونه از شبکه ایجاد شده را نشان می‌دهد.

دامنه حل شامل، دو قسمت سیال و جامد است که شرایط مرزی آن در بخش ۳ ارائه شده است. برای بررسی استقلال شبکه از ۱۰۰۰۰، ۲۰۰۰۰، ۳۰۰۰۰، ۶۰۰۰۰۰

۴- نتایج

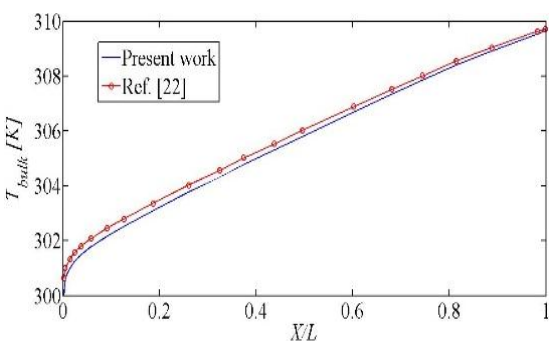
نتایج حاصل از این تحقیق، با استفاده از روش عددی بدست آمده است. برای حل عددی از روش حجم محدود با الگوریتم سیمپل استفاده شده، همچنین برای گسسته‌سازی مومنتم طرح آپویند مرتبه دو به کار گرفته شده است.

۴-۱- استقلال شبکه و صحت سنجی

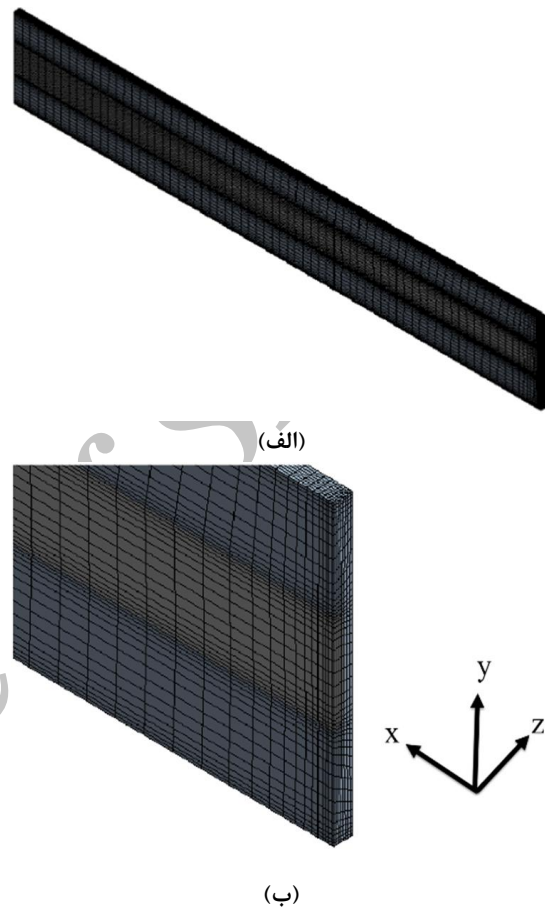
در این پژوهش، انتقال حرارت چاه حرارتی میکرو کانالی با استفاده از نانوسيالات مختلف، با درصد حجمی مختلف و همچنین در دو نوع کانال از جنس مس و آلومینیوم، به روش

همان طور که در شکل ۳ دیده می‌شود، نمودار دما در شبکه‌های ۳۰۰۰۰، ۶۰۰۰۰ و ۱۲۰۰۰۰ تقریباً روی هم منطبق شده است؛ بنابراین شبکه با ۳۰۰۰۰ گره برای محاسبات انتخاب شد. جهت صحبت سنجی در شکل ۴، دمای کپهای آب در کanal آلومینیومی تحت شرایط مشابه با نتایج صباح و همکاران [۲۲] مقایسه شد. نتایج مقایسه نشان می‌دهد که حداقل اختلاف دما در بیشترین حالت حدود ۰.۳ درجه سانتی‌گراد بوده که خطای نسی کمتر از ۰.۱ درصد را نشان می‌دهد.

و ۱۲۰۰۰۰ گره استفاده شده است و نمودار تغییرات دمای کپهای آب بر حسب طول کanal ترسیم و در شکل ۳ با هم مقایسه شده است.



شکل ۴- مقایسه دمای کپهای آب در کanal آلومینیومی کار حاضر و مرجع [۲۲]



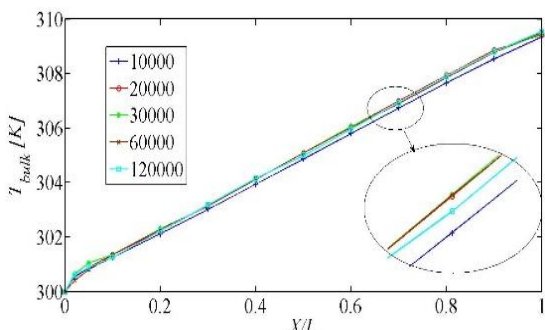
شکل ۲- نمونه شبکه تولیدشده مورداستفاده در حل عدد (الف) نمای کلی سه‌بعدی و (ب) ناحیه ورودی

همان طور که در بخش ۴ مطرح شد، برای بهینه‌سازی چاه حرارتی مذکور از روش تاگوچی استفاده شده است. به دلیل اینکه خواص سیال پایه، آب و اتیلن‌گلیکول با هم تفاوت زیادی دارند، نانوسیال آب و اتیلن‌گلیکول به صورت مستقل از هم مورد مطالعه قرار گرفته، در انتهای با هم مقایسه شدند.

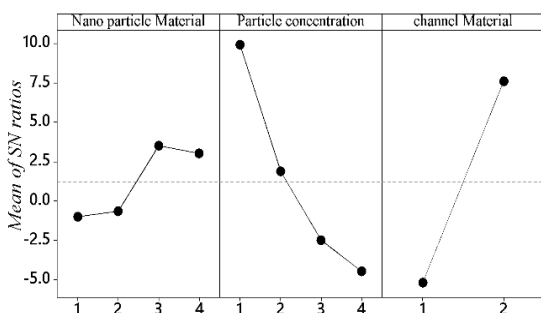
در جدول ۴، مقدار سیگنال به نویز برای آزمایش‌های مختلف در سیال پایه آب دیده می‌شود.

بیشترین مقدار سیگنال به نویز بهترین حالت را نشان می‌دهد که مطابق جدول ۴ مربوط به آزمایش شماره ۱۳، یعنی نانوسیال آب اکسید تیتانیوم، با درصد حجمی نیم درصد و جنس کanal مس است. در این حالت، راندمان حرارتی ۱۰.۱۱۵۹ است.

شکل ۵، مقادیر سیگنال به نویز مربوط به راندمان حرارتی را در نانوسیال آب را به تفکیک پارامترهای اثرگذار نشان می‌دهد.



شکل ۳- تغییرات دمای کپهای بر حسب طول بی بعد چاه حرارتی برای تعداد گره‌های مختلف شبکه



شکل ۵- نمودار تغییرات سیگنال به نویز به تفکیک پارامترهای اثرگذار برای راندمان بهینه و سیال پایه آب

همان‌طور که ملاحظه می‌شود، بیشترین تأثیر را درصد حجمی نانوذرات داشته، پس از آن جنس کانال از اهمیت دوم برخوردار بوده و درنهایت جنس نانوذرات در پایین‌ترین درجه اهمیت قرار دارند. مقادیر محاسبه شده سیگنال به نویز برای نانوسيال اتیلن‌گلیکول در جدول ۵ دیده می‌شود. همان‌طور که در جدول قابل مشاهده است، بهترین راندمان در زمان استفاده از نانوسيال اتیلن‌گلیکول متعلق به سطر ۹ بوده که نشان می‌دهد، بهترین ترکیب شامل، نانوسيال، اتیلن‌گلیکول-مس نیم درصد به همراه کانال مسی است.

جدول ۴- نتایج سیگنال به نویز مربوط به راندمان حرارتی بر اساس ماتریس پیشنهادی L₁₆ برای نانوسيال اتیلن‌گلیکول

سیگنال به نویز (SN)	متغیرهای اثرگذار			شماره آزمایش
	A	B	C	
-۳/۶۹۱۰	۱	۱	۱	۱
۱۲/۳۸۴۸	۱	۲	۱	۲
۱/۹۱۴۳	۱	۳	۲	۳
-۰/۳۲۸۶	۱	۴	۲	۴
-۳/۳۵۹۸	۲	۱	۱	۵
-۳/۵۸۸۲	۲	۲	۱	۶
۲/۱۰۳۲	۲	۳	۲	۷
-۰/۰۷۹۴	۲	۴	۲	۸
۱۷/۳۱۱۰	۳	۱	۲	۹
۷/۳۷۰۸	۳	۲	۲	۱۰
-۳/۶۵۵۴	۳	۳	۱	۱۱
-۴/۱۲۴۳	۳	۴	۱	۱۲
۹/۶۶۷۸	۴	۱	۲	۱۳
۱/۷۵۱۵	۴	۲	۲	۱۴
-۴/۶۱۶۶	۴	۳	۱	۱۵
-۵/۰۹۶۸	۴	۴	۱	۱۶

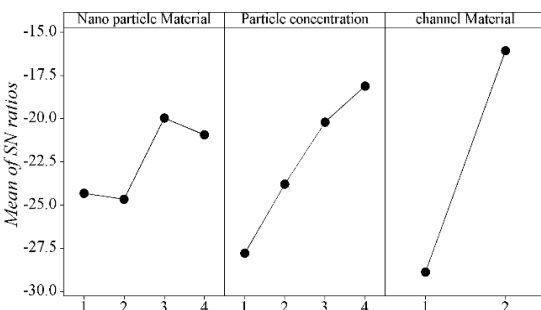
سیگنال به نویز (SN)	متغیرهای اثرگذار			شماره آزمایش
	A	B	C	
۰/۱۱۷۹	۱	۱	۱	۱
-۵/۱۸۳۰	۱	۲	۱	۲
۲/۰۰۳۵	۱	۳	۲	۳
-۱/۰۰۴۷	۱	۴	۲	۴
-۰/۱۹۴۵	۲	۱	۱	۵
-۴/۹۳۴۵	۲	۲	۱	۶
۲/۷۱۲۰	۲	۳	۲	۷
-۰/۲۵۶۰	۲	۴	۲	۸
۱۹/۷۱۴۴	۳	۱	۲	۹
۸/۷۵۸۴	۳	۲	۲	۱۰
-۶/۷۵۶۰	۳	۳	۱	۱۱
-۷/۶۷۳۵	۳	۴	۱	۱۲
۲۰/۱۰۰۱	۴	۱	۲	۱۳
۸/۹۱۷۱	۴	۲	۲	۱۴
-۷/۹۴۲۶	۴	۳	۱	۱۵
-۸/۹۹۸۸	۴	۴	۱	۱۶

غلظت نانوسيال بر افت فشار نسبت به بهبود انتقال حرارت داشت. از آنجاکه یکی از اهداف استفاده از چاه حرارتی پایین نگهداشتن دمای سیپی‌بو است و توان پمپ در این‌گونه وسایل به علت کوچکی پایین بوده و انرژی مصرفی از اهمیت بالایی برخوردار نیست، لذا می‌توان مستقل از توان پمپاز موردنیاز، به تحلیل نتایج بر اساس پایین‌ترین دمای سطح

شکل ۶، تغییرات سیگنال به نویز را به تفکیک هر یک از پارامترها نشان می‌دهد. همان‌طور که در نمودارها مشاهده می‌شود، اهمیت هر سه پارامتر، جنس کانال، درصد حجمی و جنس نانوذرات همانند هم می‌باشند. در هر دو نمودار ۵ و ۶ مشاهده می‌شود که افزایش درصد حجمی نانوذرات، سبب کاهش راندمان می‌شود که می‌توان علت آن را در تأثیر بیشتر

می‌دهد و همچنین با افزایش درصد حجمی نانوذرات نیز، میزان کاهش دمای سطح مناسب‌تر خواهد بود.

جدول ۷، بیشینه سیگنال به نویز را در سیال پایه اتیلن-گلیکول، ردیف ۲ معرفی می‌کند که مفهوم آن، نانوسیال اتیلن‌گیکول-نقره ۲ درصد با کanal آلومینیمی است. با مراجعت به شکل ۸ دیده می‌شود، در این سیال پایه نیز همانند آب با افزایش درصد حجمی نانوذرات انتقال حرارت مناسب‌تر خواهد بود.



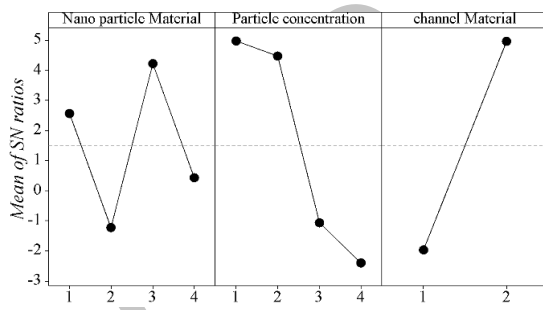
شکل ۷- نمودار تغییرات سیگنال به نویز به تفکیک پارامترهای اثرگذار برای دمای بهینه و سیال پایه آب

جدول ۷- نتایج سیگنال به نویز مربوط به نسبت دمای بی‌بعد تفاضلی به دمای بی‌بعد سیال پایه (رابطه ۱۵) بر اساس ماتریس پیشنهادی L₁₆ برای نانوسیال اتیلن‌گلیکول

سیگنال به نویز (SN)	نسبت دمای بی‌بعد تفاضلی به دمای بی‌بعد سیال پایه (θ_r)	شماره آزمایش
-۴۱/۷۲۷۲	۰/۰۰۸۱۹۷	۱
-۱۳/۶۰۸۶	۰/۲۰۰۸۷۲۴	۲
-۱۶/۱۱۹۵	۰/۱۵۶۳۳۲	۳
-۱۴/۲۷۹۵	۰/۱۹۳۲۰۸	۴
-۴۱/۴۲۲۴	۰/۰۰۸۴۸۹	۵
-۲۹/۶۰۸۸	۰/۰۳۳۰۸۰	۶
-۱۵/۹۵۸۴	۰/۱۵۹۲۵۱	۷
-۱۴/۰۸۵۶	۰/۱۹۸۱۸۵	۸
-۲۰/۷۳۱۸	۰/۰۹۱۹۲۰	۹
-۱۸/۶۲۹۲	۰/۱۱۷۰۹۶	۱۰
-۲۱/۶۹۶۲	۰/۰۸۲۲۶۰	۱۱
-۱۸/۰۸۲۲	۰/۱۲۴۷۰۷	۱۲
-۲۸/۳۹۱۵	۰/۰۳۸۰۵۶	۱۳
-۲۴/۲۶۷۴	۰/۰۶۱۱۸۳	۱۴
-۲۲/۶۷۶۹	۰/۰۷۳۴۷۸	۱۵
-۱۹/۰۷۴۷	۰/۱۱۱۲۴۱	۱۶

تماس سی‌پی‌بو و یا به عبارتی بیشترین مقدار نسبت دمای تفاضلی بی‌بعد به دمای بی‌بعد سیال پایه پرداخت.

جدول ۶ نشان می‌دهد که بیشینه سیگنال به نویز مربوط به آزمایش شماره ۸ بوده که در آن از نانوسیال آب-اکسید آلومینیم ۸ درصد و کanal از جنس مس استفاده شده است. برای بررسی دقیق‌تر تأثیر هریک از پارامترها به تفکیک نمودار ۷ ارائه شده است. بر اساس نمودارهای شکل مذکور، کanal مسی از کanal آلومینیمی انتقال حرارت بهتری را نشان



شکل ۶- نمودار تغییرات سیگنال به نویز به تفکیک پارامترهای اثرگذار برای راندمان بهینه و سیال پایه اتیلن گلیکول

جدول ۶- نتایج سیگنال به نویز مربوط به نسبت دمای بی‌بعد تفاضلی به دمای بی‌بعد سیال پایه (رابطه ۱۵) براساس ماتریس پیشنهادی L₁₆ برای نانوسیال آب

سیگنال به نویز (SN)	نسبت دمای بی‌بعد تفاضلی به دمای بی‌بعد سیال پایه (θ_r)	شماره آزمایش
-۳۷/۲۴۰۹	۰/۰۱۳۷۳۹	۱
-۳۰/۴۷۷۵	۰/۰۲۹۹۳۱	۲
-۱۵/۳۲۷۶	۰/۱۷۱۲۴۶	۳
-۱۴/۲۵۲۱	۰/۱۹۳۸۱۷	۴
-۳۸/۲۲۵۳	۰/۰۱۲۲۲۶۷	۵
-۳۰/۹۱۵۵	۰/۰۲۸۴۵۹	۶
-۱۵/۳۰۲۷	۰/۱۷۱۷۳۷	۷
-۱۴/۱۸۶۴	۰/۱۹۵۲۸۹	۸
-۱۷/۷۸۵۰	۰/۱۲۹۰۴۸	۹
-۱۶/۶۹۹۸	۰/۱۴۶۲۲۲	۱۰
-۲۴/۲۴۵۹	۰/۰۶۱۳۳۵	۱۱
-۲۱/۰۷۸۶	۰/۰۸۲۳۲۲	۱۲
-۱۷/۸۸۴۶	۰/۱۲۷۵۷۶	۱۳
-۱۷/۰۲۶۴	۰/۱۴۰۸۲۴	۱۴
-۲۵/۹۲۷۳	۰/۰۵۰۵۴	۱۵
-۲۲/۸۹۷۰	۰/۰۷۱۶۳۹	۱۶

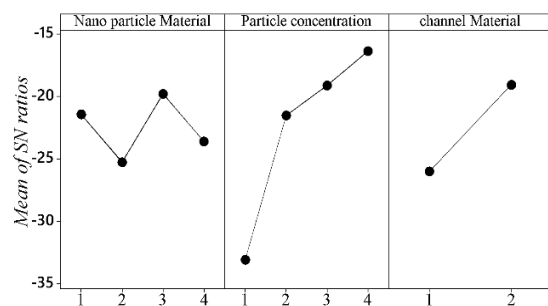
دیواره پایین چاه حرارتی با منبع گرم با تولید حرارت ثابت ۱۰۰ وات بر سانتی‌متر مربع در تماس است و همان‌طور که در شکل ۹ دیده می‌شود، به دلیل این‌که آب نسبت به اتیلن‌گلیکول می‌تواند جذب حرارتی بیشتری داشته باشد، دمای سی‌پی‌یو در طول چاه حرارتی زمانی که از سیال آب استفاده می‌شود، حدود ۱۰ درجه سانتی‌گراد نسبت به اتیلن‌گلیکول کمتر بوده، همچنین به علت این‌که لزج‌آب از اتیلن‌گلیکول کمتر است، مطابق شکل ۱۰، افت فشار اتیلن‌گلیکول نیز حدوداً ۱۰ برابر بیشتر از آب است. پس می‌توان نتیجه گرفت که استفاده از آب نسبت به اتیلن‌گلیکول برتری قابل توجهی دارد. برای بررسی نهایی نتایج حاصل، کانتورهای دما و فشار در چهار حالت اتیلن‌گلیکول خالص، آب خالص، نانوسيال آب-اکسید آلومینیم ۸ درصد و نانوسيال آب-اکسید تیتانیوم ۵ درصد در شکل ۱۱ باهم مقایسه شدند. همان‌طور که دیده می‌شود، استفاده از اتیلن‌گلیکول سبب می‌شود تا دمای حداکثر کانال به بیش از ۳۳۱ کلوین برسد و همچنین اختلاف فشار مورد نیاز برای به جریان درآوردن سیال در این حالت نیز حدود ۲۱۵ کیلو پاسکال است؛ در صورتی که در آب خالص حداکثر دما ۳۱۸ کلوین و اختلاف فشار موردنیاز تقریباً ۱۴ کیلو پاسکال است. افزودن ۸ درصد نانوذرات اکسید آلومینیم، سبب کاهش حداکثر دما به ۳۱۶.۴ کلوین شده، اما سبب افزایش اختلاف فشار به بیش از ۱۷ کیلو پاسکال می‌شود. نانوسيال آب-اکسید تیتانیوم ۵ درصد می‌تواند دمای حداکثر را به ۳۱۷ کلوین برساند که نسبت به افزودن اکسید آلومینیم ۸ درصد تفاوت قابل توجهی ندارد، اما اختلاف فشار در این حالت تقریباً به ۱۶ کیلو پاسکال می‌رسد که در مقایسه با آب-اکسید آلومینیم شرایط بهتری دارد. این بررسی نیز نتایج خروجی از تاگوجی را تائید می‌کند.

۵- نتیجه‌گیری

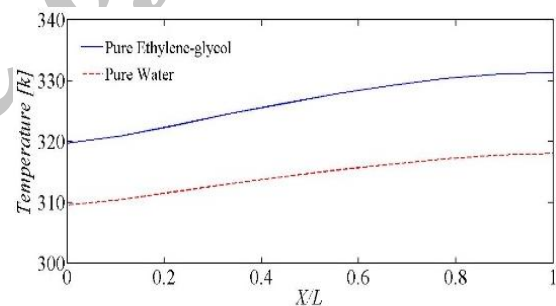
در این مقاله، عملکرد یک چاه حرارتی با نانوسيالات مختلف، با دو سیال پایه آب و اتیلن‌گلیکول به صورت عددی مورد مطالعه قرار گرفته است. هدف از این مقاله، یافتن بهترین راندمان برای چاه حرارتی با استفاده از روش تاگوجی به روش عددی حجم محدود در دو جنس کانال با نانوسيالات مختلف و با درصد حجمی متفاوت است. افزایش نانوذرات در سیال

با مراجعه به شکل ۸ دیده می‌شود، در این سیال پایه نیز همانند آب با افزایش درصد حجمی نانوذرات انتقال حرارت مناسب‌تر خواهد بود.

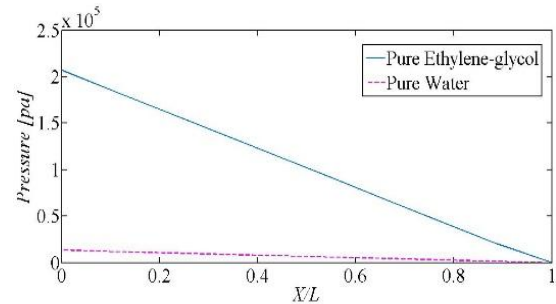
برای مقایسه دو سیال پایه آب و اتیلن‌گلیکول در شکل‌های ۹ و ۱۰ به ترتیب، تغییرات دمای سطح سی‌پی‌یو و فشار سیال نسبت به طول چاه حرارتی ترسیم شده است.



شکل ۸- نمودار تغییرات سیگنال به نویز به تفکیک پارامترهای اثرگذار برای دمای بهینه و سیال پایه اتیلن‌گلیکول



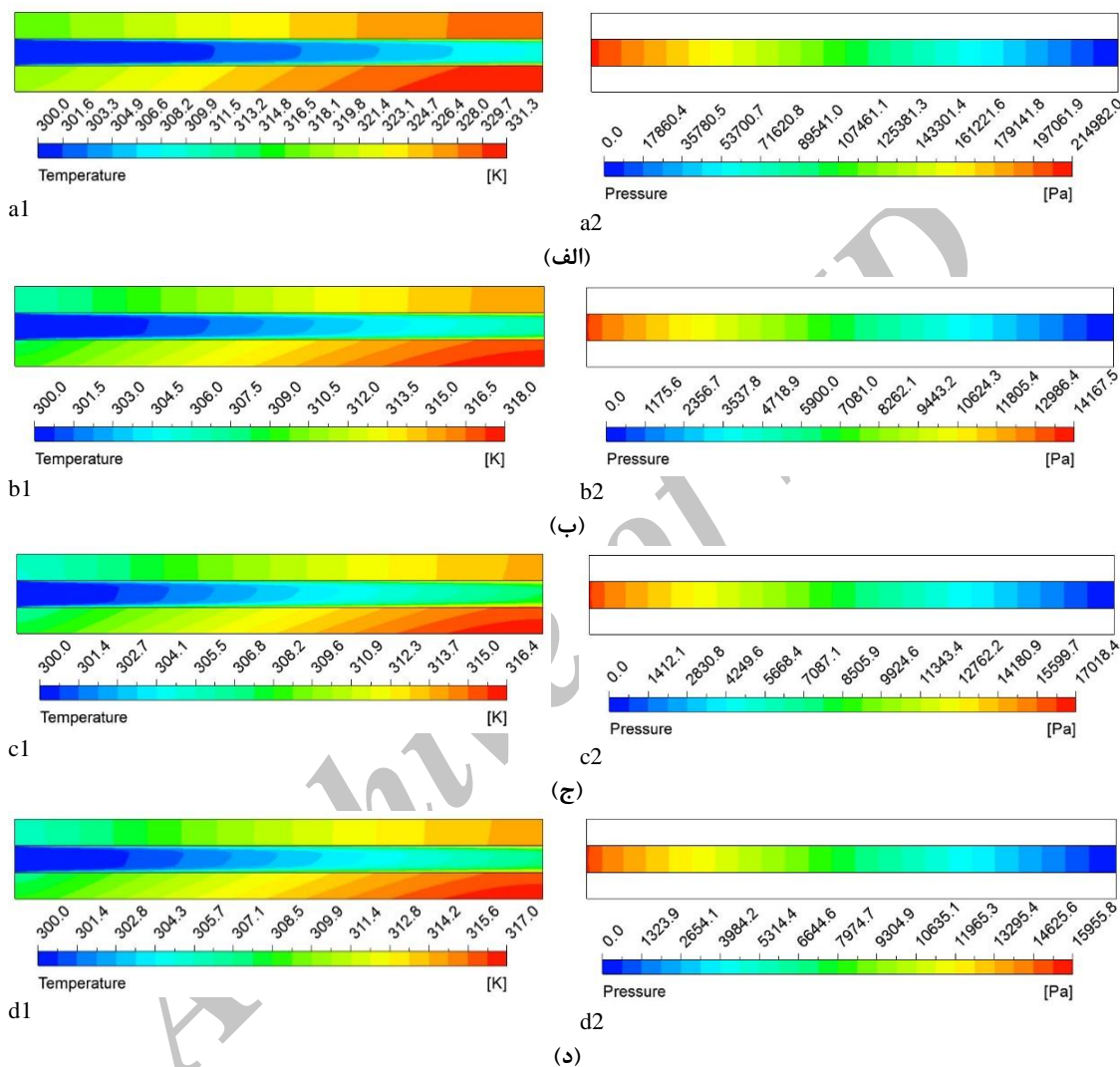
شکل ۹- مقایسه تغییرات دمای سطح منبع گرم (مانند سی‌پی‌یو) در دو سیال پایه اتیلن‌گلیکول و آب



شکل ۱۰ مقایسه تغییرات فشار برای دو سیال پایه اتیلن‌گلیکول و آب

تعریف جدیدی از راندمان ارائه شده است که طی آن تأثیر هر دو عامل افزایش انتقال حرارت و کاهش افت فشار به عنوان عوامل بهینه مدنظر قرار گیرد.

پایه از یک طرف سبب افزایش انتقال حرارت شده، از طرف دیگر، سبب افزایش افت فشار و در نتیجه نیاز بیشتر به انرژی برای به گردش درآوردن سیال عامل می‌شود. به همین سبب



شکل ۱۱- کانتورهای فشار و سرعت برای (الف) اتیلن گلیکول خالص، (ب) آب خالص، (ج) نانوسیال آب-اکسید آلومینیم ۸ درصد و (د) نانوسیال آب-اکسید تیتانیوم ۵ درصد در کانال مسی

- افزایش درصد حجمی نانوسیال، سبب بهبود انتقال حرارت شده، اما با افزایش لزجت سیال و در نتیجه افت فشار بیشتر، سبب افزایش توان مورد نیاز برای به گردش درآوردن سیال و در نهایت، باعث کاهش راندمان چاه حرارتی می‌شود.

تحلیل خروجی عددی با استفاده از جداول تاگوچی نشان می‌دهد: - در هر دو سیال پایه آب و اتیلن گلیکول افزودن اکسید تیتانیوم، بیشترین تأثیر مثبت را در راندمان چاه حرارتی دارد.

μ	لزجت دینامیکی سیال (kg/m.s)	- استفاده از کanal از جنس مس نسبت به آلومنیوم
ϕ	یک متغیر عمومی	- سبب افزایش مؤثرتر هر دو عامل انتقال حرارت و
φ	نسبت حجمی نانوذرات به نانوسيال	- راندمان می شود.
θ	اختلاف دمای سطح منبع حرارتی به دمای	- ترکیبات مختلف نانوذرات با سیال پایه
	ورودی سیال (K)	- اتیلن گلیکول، در مقابل نانوسيالات آب بیش از ده
θ_r	نسبت دمای بی بعد	- برابر افت فشار ایجاد می کنند.
η	ضریب بهره	- استفاده از نانوسيال با پایه اتیلن گلیکول نسبت به
زیرنویس‌ها		آب تحت شرایط مشابه، باعث افزایش دمای سطح
bf	سیال پایه	سی پی یو، بیش از ۱۰ درجه سانتی گراد می شود.
in	ورودی	بنابراین ضمن تحلیل جداول و نمودارهای خروجی
nf	نانوسيال	تاگوجی می توان نتیجه گرفت، استفاده از نانوسيالات با سیال
p	نانوذرات	پایه اتیلن گلیکول توجیه پذیر نیست؛ همچنین برای نانوسيال آب-اکسید تیتانیوم ۰/۵ درصد و کanal مسی بهترین راندمان
s	جامد	را برای چاه حرارتی دارد؛ اما چنانچه هدف صرفاً کاهش دمای سی پی یو باشد، نانوسيال آب-اکسید آلومنیوم ۸ درصد در کanal مسی نتیجه بهتری را به همراه دارد.

۸- مراجع

- Jamarani A, Maerefat M, Eshagh Nimvari (2016) Numerical study of heat transfer in double-tube heat exchanger filled with porous material in a turbulent fluid flow. Modares Mech Eng 16(3): 173-184. (In persian)
- Shakiba A, Gorji M (2015) Numerical investigation of ferrofluid flow and heat transfer characteristics through a double pipe heat exchanger. Modares Mech Eng 15(2): 41-52. (In persian)
- Tuckerman DB, Pease R (1981) High-performance heat sinking for VLSI. Electron Devic Lett 2(5): 126-129.
- Ho CJ, Wei L, Li Z (2010) An experimental investigation of forced convective cooling performance of a microchannel heat sink with Al 2O 3/water nanofluid. Appl Therm Eng 30(2): 96-103.
- Salimi Gachuee M, Peyghambarzadeh SM, Hashemabadi SH, Chabi A (2015) Experimental investigation of convective heat transfer of Al2O3/water nanofluid through the micro heat exchanger. Modares Mech Eng 15(2): 270-280. (In persian).
- Xuan Y, Li Q (2000) Heat transfer enhancement of nanofluids. Int J Heat Fluid Fl 21(1): 58-64.
- Lee J, Mudawar I (2007) Assessment of the effectiveness of nanofluids for single-phase and two-phase heat transfer in micro-channels. Int J Heat Mass Tran 50(3): 452-463.
- Chein R, Huang G (2005) Analysis of microchannel heat sink performance using nanofluids. Appl Therm Eng 25(17): 3104-3114.

۶- تشکر و قدردانی

نویسندها مراتب تشکر و قدردانی خود را از دانشگاه آزاد اسلامی واحد ساری به واسطه حمایت از این کار تحقیقاتی، اعلام می نمایند.

۷- فهرست علائم

c_p	ظرفیت گرمایی ویژه (J/kg.K)	-
k	ضریب انتقال حرارت هدايتی (J/m.K)	-
n	مختصه بعد عمود به سطح (m)	-
p	فشار (pa)	-
T	دما (K)	-
u	مؤلفه سرعت در امتداد محور x (m/s)	-
v	مؤلفه سرعت در امتداد محور y (m/s)	-
w	مؤلفه سرعت در امتداد محور z (m/s)	-
W (w)	توان موردنیاز برای عبور سیال از چاه حرارتی	-
W_r	توان بی بعد	-
علائم یونانی		-
β	ضریب ثابت	-
ρ	دانسیته سیال (kg/m³)	-

- exchangers by Taguchi method. *Appl Therm Eng* 85: 334-339.
- [20] Ghassabi G, Kahrom M (2014) Experimental Investigation of dissimilarity between heat transfer and momentum transfer in a distributed boundary layer using design of experiments method. *Modares Mech Eng* 15(1): 323-331. (In person)
- [21] Milani Shirvan K, Mamourian M (2015) Numerical investigation and optimization of mixed convection and entropy generation in square cavity with lid-driven. *Modares Mech Eng* 15(8): 164-174. (In person)
- [22] Sabbah R, Farid MM, Al-Hallaj S (2009) Micro-channel heat sink with slurry of water with micro-encapsulated phase change material: 3D-numerical study. *Appl Therm Eng* 29(2): 445-454.
- [23] Das SK, Choi SU, Patel HE (2006) Heat transfer in nanofluids—a review. *Heat Transfer Eng* 27(10): 3-19.
- [24] Drew DA, Passman SL (2006) Theory of multicomponent fluids. Springer Science & Business Media.
- [25] Xuan Y, Roetzel W (2000) Conceptions for heat transfer correlation of nanofluids. *Int J Heat Mass Tran* 43(19): 3701-3707.
- [26] Yu W, Choi S (2003) The role of interfacial layers in the enhanced thermal conductivity of nanofluids: a renovated Maxwell model. *J Nanopart Res* 5(1-2): 167-171.
- [27] Taguchi G, Jugulum R (2002) The Mahalanobis-Taguchi strategy: A pattern technology system. John Wiley & Sons.
- [28] George P, Pillai N, Shah N (2004) Optimization of shot peening parameters using Taguchi technique. *J Mater Process Tech* 153: 925-930.
- [29] Montgomery DC (2008) Design and analysis of experiments. John Wiley & Sons.
- [30] Celik N, Turgut E (2012) Design analysis of an experimental jet impingement study by using Taguchi method. *Heat Transfer Eng* 48(8): 1407-1413.
- [9] Wen D, Ding Y (2004) Experimental investigation into convective heat transfer of nanofluids at the entrance region under laminar flow conditions. *Int J Heat Mass Tran* 47(24): 5181-5188.
- [10] Li J, Kleinstreuer C (2008) Thermal performance of nanofluid flow in microchannels. *Int J Heat Fluid Fl* 29(4): 1221-1232.
- [11] Tsai TH, Chein R (2007) Performance analysis of nanofluid-cooled microchannel heat sinks. *Int J Heat Fluid Fl* 28(5): 1013-1026.
- [12] Chen CH, Ding CY (2011) Study on the thermal behavior and cooling performance of a nanofluid-cooled microchannel heat sink. *Int J Therm Sci* 50(3): 378-384.
- [13] Mohammed H, Gunnasegaran P, Shuaib N (2011) Influence of various base nanofluids and substrate materials on heat transfer in trapezoidal microchannel heat sinks. *Int J Heat Mass Tran* 54(2): 194-201.
- [14] Jankrajang W (2003) Design of Experiment Approach for Improving Rice Milling Quality. Kasetsart University
- [15] Um JM, Kim KS, Yam BJ, Hwang H (1996) Determination of an optimal configuration of operating policies for direct-input-output manufacturing systems using the Taguchi method. *Comput Ind Eng* 31(3): 555-560.
- [16] Van Nostrand RC (2002) Design of experiments using the taguchi approach: 16 steps to product and process improvement. *Technometrics* 44(3): 289-289.
- [17] Sivasakthivel T, Murugesan K, Thomas H (2014) Optimization of operating parameters of ground source heat pump system for space heating and cooling by Taguchi method and utility concept. *Appl Energ* 116: 76-85.
- [18] Verma V, Murugesan K (2014) Optimization of solar assisted ground source heat pump system for space heating application by Taguchi method and utility concept. *Energ Buildings* 82: 296-309.
- [19] Du T, Du W, Che K, Cheng L (2015) Parametric optimization of overlapped helical baffled heat